

Рис. 3. Зависимость импульса положительной фазы сжатия от относительного расстояния. 1 — $\text{CH}_4 + 2\text{O}_2$; 2 — $2\text{H}_2 + \text{O}_2$; 3 — [3].

ли (1)–(3) (сплошные линии), примерно на 30% большие значений импульсов, полученных по модели [1, 2] (штриховые линии), и лучше коррелируют с экспериментом.

Представляет интерес величина коэффициента полезного действия взрыва $\eta = W_1/W$, определяемого как отношение энергии W_1 , перешедшей в волну при максимальном расширении ПД к полной энергии, заключенной первоначально в смеси. Ясно, что $\eta = 1 - U/U_0$, и в соответствии с данными табл. 2 находим для $\text{CH}_4 + 2\text{O}_2$ $\eta \approx 34\%$, а для $2\text{H}_2 + \text{O}_2$ $\eta \approx 32\%$. Таким образом, для кислородных смесей только третья часть полной энергии взрыва совершает работу над окружающим воздухом.

В заключение автор выражает благодарность В. В. Митрофанову за ряд критических замечаний.

Поступила в редакцию 30/IV 1982

ЛИТЕРАТУРА

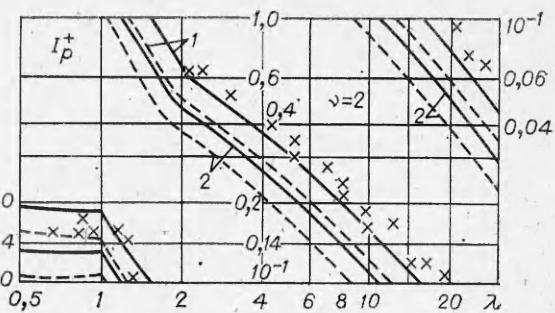
- С. А. Ждан. ПМТФ, 1975, 6.
- B. D. Fishburn. Acta Astron., 1976, 3, 11–12.
- С. А. Когарко, В. В. Адушкин, А. Г. Лямин. НТПГВ, 1965, 1, 2.
- R. W. Woolfolk, C. M. Ablow.— In: Proc. Conf. Mech. Explos. and Blast Waves. Feltman Research Laboratory, Picatinny Arsenal, Dover, N. Y., 1973.
- Ю. А. Николаев. ФГВ, 1978, 14, 4.
- К. П. Станюкович. Неуставновившиеся движения сплошной среды. М.: Наука, 1971.
- Ю. А. Николаев, П. А. Фомин. ФГВ, 1982, 18, 4.
- Ю. А. Николаев, М. Е. Топчян. ФГВ, 1977, 13, 3.
- С. К. Годунов, А. В. Забродин и др. Численное решение многомерных задач газовой динамики. М.: Наука, 1976.
- С. А. Ждан, В. И. Феденок.— В кн.: Динамика сплошной среды. Вып. 51. Ново-сибирск, 1981.

ДИНАМИКА ТЕПЛООБМЕНА ГАЗОВ В ПОДЗЕМНОЙ ПОЛОСТИ

Е. Г. Басанский, Н. А. Кудряшов, А. Л. Моисеев, В. И. Некрасов
(Москва)

Исследование процессов теплообмена газообразных продуктов в полости подземного взрыва проводилось в работах [1–3]. Результаты измерения давления газов в полости приведены в [1]. Аналитическое решение задачи о температуре и давлении продуктов взрыва в полости с учетом процессов имплозии (вбросывания) вещества расплава в газ полости получено в [2]. Численное исследование температуры и давления газов в полости взрыва с учетом процессов теплообмена, конденсации тугоплавкого компонента и утечки проводилось в [3].

В настоящей работе исследование процессов теплообмена газов в полости проводится для безводных и газоводонасыщенных силикатных пород. Следуя [3, 4], предположим, что продукты термического разложения горной породы состоят из тугоплавкого компонента (SiO_2), паров воды и летучего компонента (CO_2). После окончания стадии расширения при подземном взрыве образуется полость с газообразными продуктами при высокой температуре и давлении [4, 5]. Остыивание газообразных продук-



тов взрыва в полости рассмотрим при предположениях, аналогичных [3].

Температура газов в полости подземного взрыва описывается уравнением сохранения энергии [3]

$$\frac{dE}{dt} = -4\pi R_1^2 \sigma [\varepsilon_1 T^4 - \varepsilon_2 T_c^4] + \frac{dM}{dt} \int_0^{T_c} c_V(T) dT. \quad (1)$$

Здесь E — внутренняя энергия газов в полости; R_1 — радиус полости взрыва (граница зоны газ — расплав); T — температура газов; T_c — температура испарения SiO_2 ; M — масса газа в полости; ε_1 и ε_2 — степени черноты газа и расплава; σ — постоянная Стефана — Больцмана; c_V — теплоемкость газа при постоянном объеме. Уравнение изменения массы испаренной породы без утечки газа из полости имеет вид

$$L_1 \frac{dM}{dt} = 4\pi R_1^2 \left[\sigma (\varepsilon_1 T^4 - \varepsilon_2 T_c^4) + \lambda_1 \frac{\partial T}{\partial r} \Big|_{R_1} \right], \quad (2)$$

где L_1 — теплота испарения SiO_2 ; λ_1 — коэффициент теплопроводности расплава SiO_2 ; $T_1(r, t)$ — температура расплавленной породы.

Учитывая, что $E = E_0 + M \int_0^T c_V(T) dt$, из (1), (2) получим

$$Mc_V(T) \frac{dT}{dt} = -4\pi R_1^2 \left\{ \sigma [\varepsilon_1 T^4 - \varepsilon_2 T_c^4] \left[1 + \frac{\int_{T_c}^T c_V(T) dt}{L_1} \right] + \right. \\ \left. + \frac{\lambda_1}{L_1} \frac{\partial T}{\partial r} \Big|_{R_1} \int_{R_1}^T c_V(T) dT \right\}. \quad (3)$$

Радиус полости (граница газ — расплав) определяется из уравнения

$$4\pi R_1^2 \frac{\partial R_1}{\partial t} = (\rho_e - \rho) 4\pi R_2^2 \frac{\partial R_2}{\partial t} + \frac{dM}{dt}, \quad (4)$$

где ρ_e и ρ — плотности жидкой и твердой фаз.

Движение границы фазового перехода твердое тело — расплав определяется выражением [3]

$$\rho L_2 \frac{dR_2}{dt} = -\lambda_1 \frac{\partial T_1}{\partial r} \Big|_{R_2} + \lambda_2 \frac{\partial T_2}{\partial r} \Big|_{R_2}. \quad (5)$$

Здесь L_2 — удельная теплота плавления породы; λ_2 — коэффициент теплопроводности породы; T_2 — температура твердой фазы.

Система уравнений (3)–(5) замыкается уравнениями теплопроводности в расплавленной и раздробленной породе

$$\frac{\partial T_1}{\partial t} = \frac{\kappa_1}{r} \frac{\partial^2 (r T_1)}{\partial r^2}, \quad 0 < t < \infty, \quad R_1 \leqslant r \leqslant R_2, \quad (6)$$

$$T_1(R_1, t) = T_c, \quad T_1(R_2, t) = T_M, \quad (7)$$

$$\frac{\partial T_2}{\partial t} = \frac{\kappa_2}{r} \frac{\partial^2 (r T_2)}{\partial r^2}, \quad 0 < t < \infty, \quad R_2 < r < \infty, \quad (8)$$

$$T_2(R_2, t) = T_M, \quad \lim_{r \rightarrow \infty} T_2(r, t) = T_f \quad (9)$$

и начальными условиями

$$M(t=0) = M_0, \quad R_1(t=0) = R_{10}, \quad T(t=0) = T_0, \quad R_2(t=0) = R_{20}. \quad (10)$$

В (6)–(10) κ_1 и κ_2 — коэффициенты температуропроводности расплавленной и твердой породы; T_M — температура плавления SiO_2 ; T_f — фоновая температура; T_0 — начальная температура газов в полости. Началь-

ное распределение температуры в слое расплава и в разрушенной породе принималось аналогично [3].

Система уравнений (2)–(5), (6), (8) с начальными и граничными условиями (7), (9) описывает остывание газа в полости до начала конденсации тугоплавкого компонента породы.

По мере остывания газа в полости влияние процессов радиационного теплообмена уменьшается. Пар тугоплавкого компонента горной породы достигает состояния насыщения, и дальнейшее остывание газа определяется теплопроводностью в зоне расплава и тепловыделением при конденсации. Изменение температуры при этом описывается следующим уравнением:

$$\frac{dT}{dt} \left\{ M_L c_L + M_g c_g + \frac{dM_g}{dt} \left[L_1 + \int_0^T (c_g - c_L) dT \right] \right\} = -S \lambda_1 \frac{T_c - T_M}{d}, \quad (11)$$

где S — эффективная поверхность теплообмена; M_g , M_L — массы пара и жидкой фазы; d — средняя толщина слоя расплава; c_g и c_L — теплопроводности газообразной и жидкой фазы.

Давление газа в полости будет изменяться в соответствии с кривой насыщения пара SiO_2 [6, 7]: $p_s = \exp(a - b/T)$, где a , b — константы.

Изменения массы пара и массы расплава удовлетворяют уравнениям

$$\frac{dM_g}{dt} = \frac{M_g}{T} \left(\frac{b}{T} - 1 \right) \frac{dT}{dt}, \quad (12)$$

$$\frac{dM_L}{dt} = \frac{S \left(\lambda_1 \frac{T_c - T_M}{d} + \lambda_2 \frac{\partial T_2}{\partial r} \Big|_{R_2} \right)}{L_2 + \int_{T_M}^T c_L(T) dT} - \frac{dM_g}{dt}. \quad (13)$$

Температура твердой фазы T_2 определяется из уравнения (8).

В случае утечки газа полости уравнение для температуры (без учета теплопроводности) имеет вид

$$\begin{aligned} \frac{dT}{dt} \left\{ M_L c_L + M_g c_g + \frac{dM_g}{dt} \left[L_1 + \int_0^T (c_g - c_L) dT \right] \right\} = \\ = -\frac{S^* u}{V} \left\{ M_g \left[L_1 + \int_0^T (c_g - c_L) dT \right] \right\}, \end{aligned} \quad (14)$$

где S^* — поверхность утечки; V — объем полости; u — скорость утечки на границе полости. Изменение массы газа в этом случае описывается уравнением (13), а зависимость массы расплава (жидкой фазы) от времени можно представить в виде

$$\frac{dM_g}{dt} = -\frac{dM_E}{dt} - \frac{S^* u}{V} M_g = -M_g \left[\frac{1}{T} \left(\frac{b}{T} - 1 \right) \frac{dT}{dt} + \frac{S^* u}{V} \right]. \quad (15)$$

В уравнениях (14), (15) потерями тепла из-за теплопроводности пренебрегаем по сравнению с потерями тепла из-за утечки газа из полости [3].

Решение системы уравнений, описывающих изменение температуры, давления, плотности газов и массы расплавленной породы проводилось численно с использованием копечечно-разностных методов решения дифференциальных уравнений [8]. Скорость утечки газов из полости определялась из решения задачи фильтрации газов через трещиновато-пористую среду по расчетной методике, предложенной в [10, 11]. В результате численного решения системы уравнений, описывающей динамику теплообмена газа в полости подземного взрыва в безводной силикатной породе, получены зависимости от времени, температуры и давления газа, количества испаренного и расплавленного грунта. Масса первоначально испаренного грунта оценивалась величиной $M_0 = 70$ [2], масса

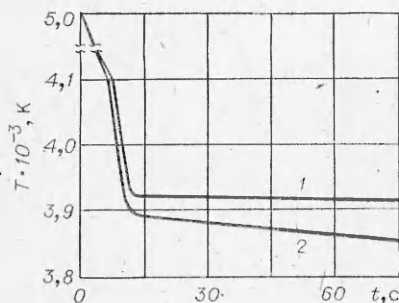


Рис. 1. Зависимость температуры газа в полости для силикатной породы от времени без учета утечки газов из полости.
1 — $\lambda_1 = 8 \text{ Вт}/\text{м}; 2 — \lambda_1 = 80 \text{ Вт}/\text{м}.$

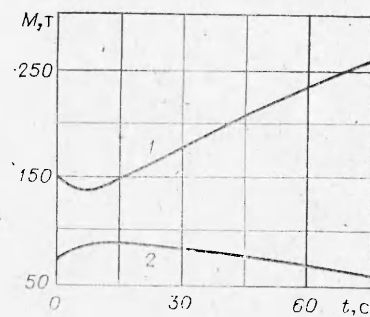


Рис. 2. Количество расплавленной (1) и испаренной (2) породы.

расплава, образованного ударной волной, принималась равной $M_p = 150$ [12]. При учете радиационного теплообмена газ считается излучающим как абсолютно черное тело $\epsilon_1 = 1$, а степень черноты поверхности полости принимается равной $\epsilon_2 = 0,9$.

Значения констант кривой насыщения с учетом разложения пара на SiO_2 и O_2 : $a = 31,23$ и $b = 60,639 \text{ К}$ [6]; величина теплоты испарения $L_1 = 8 \cdot 10^6 \text{ Дж}/\text{кг}$; значения остальных физических параметров [6, 7, 9, 12]: $c_L = 1,50$, $c_{1V} = 1,15 \text{ кДж}/(\text{кг} \cdot \text{град})$, $\lambda_2 = 4 \text{ Вт}/(\text{м} \cdot \text{град})$, $R_0 = 12 \text{ м}$, $\rho_e = 3,0 \cdot 10^3$, $\rho = 2,7 \cdot 10^3 \text{ кг}/\text{м}^3$, $L_2 = 1,76 \cdot 10^5 \text{ Дж}/\text{кг}$.

На рис. 1 изображена зависимость температуры газа в полости в безводной силикатной породе от времени без учета утечки газов из полости. Изменение температуры в первые 12 с обусловлено процессом радиационного теплообмена газа с поверхностью расплава. Далее уменьшение температуры происходит из-за насыщения паров испаренной породы и начала конденсации, сопровождающейся большим тепловыделением. Основная часть теплового потока идет на смещение границы фазового перехода расплав — твердая порода. При этом распределение температуры по породе практически не изменяется, а лишь сдвигается в соответствии с перемещением зоны плавления.

Величина коэффициента теплопроводности жидкой фазы силикатной породы в численных расчетах варьировалась в пределах от 8 до 80 $\text{Вт}/(\text{м} \cdot \text{град})$. Результатам расчетов, проведенных для двух крайних значений коэффициента теплопроводности, соответствуют кривые 1 и 2 на рис. 1. Видно, что погрешность величины λ_1 для жидкой фазы силикатного грунта [7] не оказывает влияния на температуру газа в полости.

Рис. 2 показывает изменение количества расплавленной и испаренной породы в полости подземного взрыва из-за процессов испарения, конденсации и плавления. Увеличение массы газа в первые 10 с объясняется дополнительным испарением слоя расплава.

Некоторые результаты исследования влияния теплосодержания расплава на изменение температуры и давления газа при утечке газообразных продуктов взрыва из полости представлены на рис. 3. Полость в данном случае считалась теплоизолированной и поверхностью утечки была вся ее поверхность. Кривая 2 показывает изменение массы газа в случае отсутствия фазового перехода при охлаждении газообразного вещества SiO_2 из-за

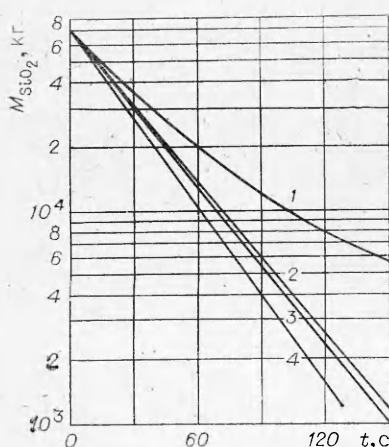


Рис. 3. Изменение массы газообразного SiO_2 в полости от времени при утечке газов из полости.

расширения. Изменение массы паров SiO_2 , которые в начальный момент являются насыщенными, характеризуется кривой 3. При таком условии утечка сопровождается конденсацией пара до наступления фазового равновесия с расплавом, после чего последний начинает испаряться. Кривая 1 показывает изменение массы газообразной фазы SiO_2 , когда в начальный момент времени масса газообразной фазы SiO_2 составляет 70 т, а масса расплава — 300 т. Вид кривой объясняется дополнительным испарением расплавленной породы при утечке насыщенного пара. Кривая 4 соответствует расчетам, проведенным по методике, описанной в [3], где не учитывалась сконденсированная при утечке масса пара.

Рассмотрим теплообмен в полости взрыва, проведенного в породе, содержащей воду или другие химические соединения, образующие газообразные продукты при термическом разложении. Целостность слоя расплава, покрывающего стенки полости после окончания ее расширения, в этом случае будет нарушена из-за интенсивного газовыделения [2]. Превышение давления газов в расплавленной породе над давлением газов в полости [2] приводит к их быстрому расширению и движению расплава по направлению к центру полости (присоединению или возвращению в полость). В результате перемешивания расплавленной породы с газом полости поверхность теплообмена значительно увеличивается, так как теплообмен будет происходить не в тонком слое расплава, а по всему объему, занимаемому газом.

Из приведенной в [2] зависимости отношение равновесных объемов газ — жидкость от температуры для модельных силикатных грунтов $n\text{SiO}_2 + m\text{H}_2\text{O}$ следует, что температура начала имплозии T_b равна 1900 К. Расширение газов, входящих в состав расплава, начинается в момент окончания роста полости и продолжается некоторое время после ее стабилизации. Длительность процесса перемешивания оценивается величиной $t^* = 10 \cdot R_1^{-1}$ [2], где t^* — время перемешивания, R_1 — радиус полости после ее остановки. На начальной стадии перемешивания расплав, вовлеченный в полость, будет полностью испаряться, что приведет к быстрому насыщению тугоплавкого компонента. Далее перемешивание будет сопровождаться конденсацией SiO_2 .

Зная долю энергии взрыва, выделившуюся в виде тепла [2], и считая, что вся зона тепловыделения охвачена перемешиванием, запишем уравнение, выражющее закон сохранения энергии при условии установления теплового равновесия между газом и расплавом:

$$\alpha W = (M_0 + M_p)(\gamma_1 c_L + \gamma_2 c_{2v} + \gamma_3 c_{3v})T_x + M_x(L_1 - (c_L - c_{1v})T_x), \quad (16)$$

где α — доля всей энергии взрыва, перешедшая в тепло (для различных пород α изменяется в пределах от 0,4—0,6); W — полная энергия, выделившаяся при взрыве; M_p и M_0 — массы первоначально расплавленной и испаренной породы; $\gamma_{1,2,3}$ — процентное содержание SiO_2 , H_2O , CO_2 ; c_{1v} , c_{2v} , c_{3v} — теплоемкости компонентов при постоянном объеме; T_x — температура газа в полости после установления термодинамического равновесия; $M_x = V\mu/AT_x \exp(a - b/T_x)$ — масса пара при температуре T_x . Решая уравнение (16) относительно T_x , определим температуру в полости в момент окончания процесса имплозии расплава.

Давление газов в полости определяется как сумма парциальных давлений компонентов

$$p = \sum_{j=1}^3 p_j = \frac{AT_x}{V} (M_0 + M_p) \left(\frac{\gamma_2}{\mu_2} + \frac{\gamma_3}{\mu_3} \right) + \exp \left(a - \frac{b}{T_x} \right). \quad (17)$$

При газовыделении продукты в полости имеют достаточно высокую температуру, что приводит к прогреву поверхностного слоя расплава путем лучистого теплообмена до температуры, при которой он будет вовлечен в процесс имплозии.

Процесс газовыделения будет протекать до тех пор, пока температура смеси (выделяющихся газов, увлекаемого в движение расплава и га-

зообразных продуктов в полости) не будет ниже T_b . До этого момента изменение температуры парогазовой смеси определяется из закона сохранения энергии

$$\begin{aligned} \frac{dT}{dt} \left\{ c_L M_L + \sum_{j=1}^3 c_{jV} M_j + \frac{dM_1}{dt} [L_1 - (c_L - c_{1V}) T] \right\} = \\ = -4\pi R^2 \sigma (\varepsilon_1 T^4 - \varepsilon_2 T_b^4) \left[1 + \frac{\gamma_1 c_L (T - T_b)}{E_w + \sum_{j=1}^3 \gamma_j c_{jp} (T - T_b)} \right]. \end{aligned} \quad (18)$$

Здесь M_j — масса газообразного j -го компонента смеси; M_1 — масса расплавленного SiO_2 ; $E_w = c(T_b - T_f) + L_2$ — энергия, необходимая для нагрева единицы массы породы от фоновой температуры $T_f = 300$ К до температуры T_b ; L_1 и L_2 — теплоты испарения и плавления SiO_2 ; c_{2p} и c_{3p} — теплоемкости H_2O и CO_2 при постоянном давлении. Изменение массы породы, вовлекаемой в перемешивание, определяется уравнением

$$\frac{dM}{dt} = \frac{4\pi R^2 \sigma (\varepsilon_1 T^4 - \varepsilon_2 T_b^4)}{E_w + \sum_{j=1}^3 \gamma_j c_{jp} (T - T_b)}. \quad (19)$$

Для изменения масс H_2O и CO_2 справедливы соотношения $\frac{dM}{dt} = \gamma_j \frac{dM}{dt}$, $j = 2, 3$. Масса расплава определяется по уравнению $\frac{dM_L}{dt} = \gamma_1 \frac{dM}{dt} - \frac{dM_1}{dt}$, где $\frac{dM_1}{dt}$ аналогично (12), а радиус полости — по $4\pi \rho_e R^2 \frac{dR}{dt} = \frac{dM}{dt}$, где ρ_e — плотность расплавленной породы.

Система уравнений (16)–(19) описывает изменение температуры и давления в системе газ — расплав до окончания процесса имплозии на стенках полости. Далее при отсутствии разгерметизации полости остывание газа происходит из-за теплопроводности через ее стекки.

Решение задачи теплообмена в полости для газоводосодержащего грунта определяется расчетом первичного перемешивания продуктов в процессе имплозии (17) и расчетом перемешивания, вызванного лучистым теплообменом (18), (19).

В результате численного решения дифференциальных уравнений (17)–(19) получены зависимости температуры и давления газов в полости от времени для пород следующих составов: $\text{SiO}_2 + 1\% \text{H}_2\text{O} + 1\% \text{CO}_2$, $\text{SiO}_2 + 1\% \text{H}_2\text{O} + 10\% \text{CO}_2$, $\text{SiO}_2 + 10\% \text{H}_2\text{O} + 1\% \text{CO}_2$, а также изменения массы породы, вовлеченной в процесс перемешивания.

На рис. 4 показано изменение давления смеси газов в полости подземного взрыва для указанных выше составов горных пород. Отличие в поведении кривых характеризуется содержанием воды в составе горной породы. Ход кривых на рис. 4 показывает, что в первые 60 с после взрыва происходит конденсация тугоплавкого компонента породы.

Расчеты показали, что для остывания газов в полости подземного взрыва в случае газоводосодержащих пород учет теплообмена расплава с газом полости в процессе перемешивания приводит к увеличению скорости остывания газов на начальной стадии ($t < 60$ с). На поздней

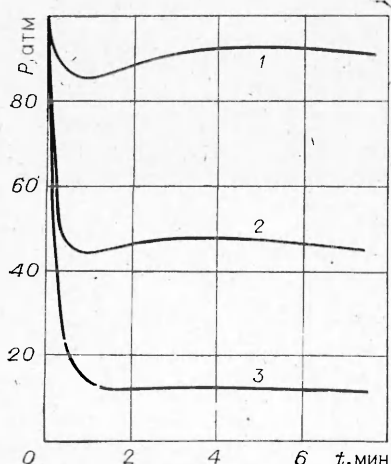


Рис. 4. Изменение давления смеси газов в полости подземного взрыва от времени для пород с различным содержанием газа и воды.
1 — 10% H_2O , 1% CO_2 ; 2 — 1% H_2O , 10% CO_2 ; 3 — 1% H_2O , 1% CO_2 .

стадии ($t \geq 60$ с) скорость остывания газов в полости замедляется, время конденсации SiO_2 увеличивается, продолжительность процесса имплозии возрастает в 6—7 раз.

Из анализа полученных результатов можно сделать ряд заключений о характере изменения термодинамических характеристик газов в полости. Величина давления в полости подземного взрыва существенно зависит от содержания воды в горной породе. Так, увеличение водного содержания до 10% при учете имплозии приводит к возрастанию давления в полости, несмотря на уменьшение температуры. Содержание углекислого газа до 10% в составе породы оказывает меньшее влияние на величину давления газов в полости. В случае пород с низким газоводосодержанием необходимо учитывать теплообмен утечки из полости. Получено, что остывание газа в полости подземного взрыва не чувствительно к неточности в определении коэффициента теплопроводности расплава.

*Поступила в редакцию 4/XI 1981,
после доработки — 26/III 1982*

ЛИТЕРАТУРА

1. C. W. Olsen. J. Geophys. Res., 1967, **72**, 20.
2. C. E. Chapin. Symposium on Engineering with Nuclear Explosions. Las Vegas, Nevada, 14—16 January, 1970.
3. В. А. Егоров, В. М. Колобашкин, Н. А. Кудряшов. ФГВ, 1979, **15**, 5.
4. Ю. А. Израэль. Мирные ядерные взрывы и окружающая среда. Л.: Недра, 1974.
5. Г. В. Джонсон и др. Подземные ядерные взрывы. М.: ИЛ, 1962.
6. Р. Кубо. Термодинамика. Современный курс с задачами и решениями. М.: Мир, 1970.
7. Н. А. Топоров, В. П. Барзаковский. Высокотемпературная химия силикатных и других окисных систем. ИСХ им. Гребенщикова АН СССР. М., 1963.
8. С. К. Годунов, В. С. Рябенький. Разностные схемы. М.: Наука, 1973.
9. В. Н. Бабушкин и др. Термодинамика силикатов. М., 1972.
10. В. В. Адушкин, П. Б. Каазик. ПМТФ, 1976, **1**.
11. А. Г. Бондаренко, Н. А. Кудряшов.— В кн.: Экспериментальные методы ядерной физики. Вып. 7. М.: Атомиздат, 1978.
12. G. H. Higgins, T. R. Butkovich. Effect of Water Content, Yield, Medium and Depth of Burst on Cavity Radii, UCRL — 50203, 1967.